

東京大学工学部 正会員 宮田利雄
 小栗英和
 東京大学大学院 学生員 久保喜延

まえがき

従来、トラス補剛桁を有する吊橋の耐風安定性は、二次元振動実験（自由振動法）により数々検討されてきた。しかしながら、補剛桁に作用する非定常空気力と応答との間の関係について検討した研究例は少ない。トラス補剛桁において、自励振動が観測されるとさ、振れ振動が卓越するものの、曲げ（上下）振動がこれに随伴することしばしばである。ところで、強制振動法による測定非定常空気力の各成分は、1自由度（曲げまたは振れ）振動を手立て場合のものである。この問題に対する基礎資料を得るために、強制振動法により測定された非定常空気力から振動応答を追跡し、自由振動法による観測結果との比較を試みた。さうに、自由振動実験中に観測される微小振動の発現に対する1考察を行なつた。

強制振動法と自由振動法

$$1 \text{自由度系に作用するモーメントを} \\ M = \frac{1}{2} S V^2 B^2 l \left(M_{GR} \frac{\theta}{\theta_0} + M_{GI} \frac{\dot{\theta}}{\theta_0 \omega} \right)$$

とおけば、振動方程式は、

$$\ddot{\theta} + 2S_0 \omega_0 \dot{\theta} + \omega_0^2 \theta = \nu \left(M_{GR} \frac{\theta}{\theta_0} + M_{GI} \frac{\dot{\theta}}{\theta_0 \omega} \right)$$

であり、この系の対数減衰率は次のようになる。

$$\delta = 2\pi\beta / (\omega/\omega_0)^2 - \beta^2 \quad (a)$$

$$\text{但し}, \quad \omega^2 = \omega_0^2 - M_{GR} \nu \cdot \frac{1}{\theta_0}, \quad \beta = S_0 - M_{GI} \nu \cdot \frac{\dot{\theta}}{2\theta_0 \omega \omega_0}$$

$$\nu = \frac{1}{2} S V^2 B^2 l / \Theta, \quad \Theta: \text{慣性モーメント}, \quad S_0: \text{構造減衰}$$

S : 空気密度, V : 風速, B : 幅, l : 長さ, ω_0 : 固有振動数

ここで、 M_{GR} , M_{GI} は、強制振動法により測定される非定常空気力である。

一方、自由振動法による応答から、振動系の δ が求められる。従って、理想的な状態、即ち、完全に1自由度の振動系であれば、両者の δ は一致するはずである。

結果と考察

実験は、トラス断面のグレーティングを開じたもの（closed type）と開じないものの（open type）の二つの模型に対して行われた。自由振動法では、2自由度を許す振動系であるが、振れ1自由度に着目して、実験した。その結果、得られた応答曲線（A-V-δ 曲線）が、Fig. 1, Fig. 4 に示されている。この場合、倍振幅1度以下の微小振動が、発現したが、これについては、Fig. 8 に実線で表わされている。一方、強制振動法により測定された振れモーメントは、Fig. 3, Fig. 6 である。この測定非定常空気力を (a) 式に代入し、各振幅毎に計算された δ を使って書いた A-V-δ 曲線が、Fig. 2, Fig. 5 である。自由振動実験結果と計算結果とを、closed type と open type について比較すると、両者共、全体のオーダーが、 V/NB (換算風速 = V/NB) に対して若干ずれており、強制振動法か

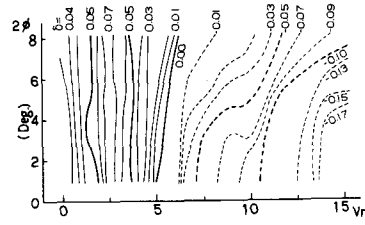


Fig. 1 Response curve by free vibration method in closed type

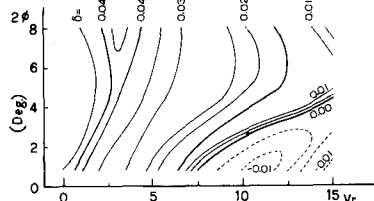


Fig. 2 Calculated response curve in closed type

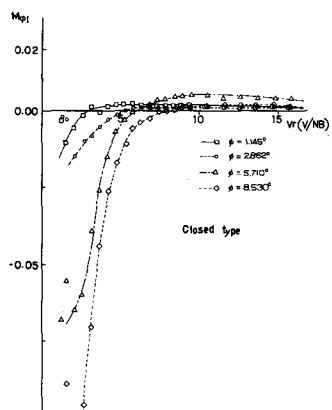


Fig. 3 Aerodynamic force in closed type

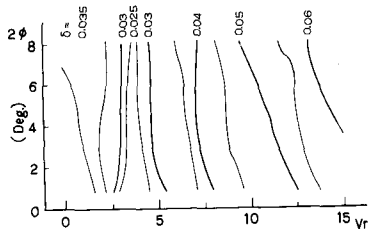


Fig.4 Response curve by free vibration method in open type

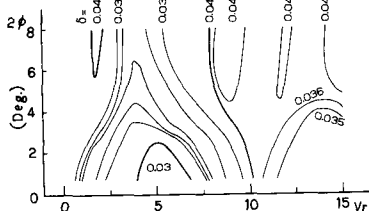


Fig.5 Calculated response curve
in open type

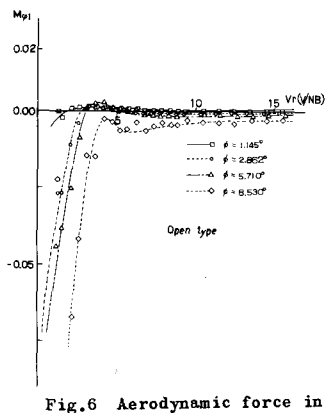


Fig.6 Aerodynamic force in open type

ら計算されたものは、自由振動法の結果よりもの変化が緩慢であり、大振幅では、傾向がかなり異っている。これだけの差を生じた理由としては、2自由度系において1自由度（ねじれ）のみに着目したための差、大振幅での振動の非線形性、模型の大きさ上げによる振動系の変化等が考えられる。これらの諸点については、さらに詳しく検討する。

さて、上に述べた如く、微小振動が発現することの観測されたが、これは、静止モーメントの変動成分に起因すると考えた。このことを考察する目的で、ねじれモーメントおよび静止モーメントのR.M.S.を測定した。*closed type*に対するその結果が、Fig. 7である。揃れモーメントのR.M.S.は、振幅の増加と共に増大するが、 $\phi=2.86^\circ$ と $\phi=5.71^\circ$ を境に振幅に対する非線形性が顕著にになっている。一方、静止モーメントの変動成分のR.M.S.は $\phi=2.86^\circ$ とほぼ同じであるが、 $\phi=1.145^\circ$ のものがより大きくなっている。一方、 $\phi=6.71^\circ$ 付近で、ピークが存在している。これに対して、パワースペクトルを計算してみると、 2.85 cycle 付近にピークが現われ、このピークの形状は、 $T=6\sim 7(\text{m/sec})$ で鋭くなり、ピーク値も大きい。しかし、さらに風速を上昇すると、その領域を離れて、ピークの形状は鈍くなり、周波数域も広くなる。このことから、静止している模型周りの流れの状況がみる風速で特異な現象を呈していると考えられる。また、R.M.S.のグラフから静止中の模型に作用する変動空気力は、必ずしも振動中のものより小さくなることはないことが知られる。次に、この

静止モーメントの変動成分の R , M , S を使って、微小振動の応答計算をした。即ち、Fig. 7 の R , M , S の \bar{N} 倍の空気力（正弦波的に変動する空気力）が、位相差をもたずく作用している。

三、不應算計員工行動力，反為其結果

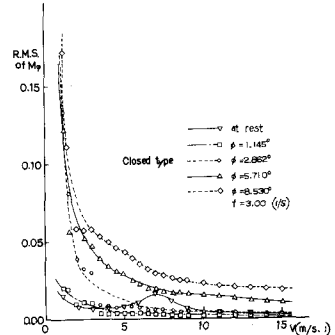


Fig.7 R.M.S. of aerodynamic force
in open type

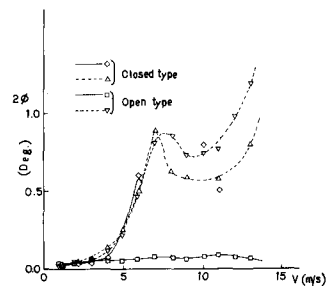


Fig.8 Response curve in smaller amplitude

(空気力による減衰効果がない)と仮定して、応答計算を行なった。その結果がFig. 8である。その中で、破線は計算結果であり、実線は自由振動実験で観察された最振幅である。*closed type* & *open type* の $T = 3$ (m/sec) 附近まではよく一致しているが、*open type*では、この風速以上で全く一致しない。一方、*closed type*は飛散する風速 (6 m/sec) までよく一致している。この理由として、*closed type*では、Fig. 3からわかるように、空気力の減衰成分がほとんど0とみなせるためであると思われる。しかし、*open type*については、そうでないので、更に詳しく検討する必要がある。

今後の問題点としては、強制振動法では微小振幅における非定常空気力の測定方法と達成効果をどのように考えるか、自由振動法では、より精度の高い実験をするための支持条件の改良等が考えられる。

今回の実験およびデータ整理には、東京大学橋梁研究室、大竹亮治技官はじめの方々の尽力があつた。深く感謝する次第である。